

·论著·

microRNA-202激活JNK/SAPK信号通路增强多发性骨髓瘤细胞药物敏感性的研究

张艳 申娴娟 吴信华 丛辉 倪红兵 鞠少卿 苏建友

【摘要】目的 研究microRNA-202(miR-202)对多发性骨髓瘤(MM)细胞生长的影响,并初步探讨miR-202在MM细胞药物敏感性中的作用机制。**方法** 荧光定量PCR检测miR-202及其靶基因B淋巴细胞刺激因子(BAFF)在MM细胞中的表达水平。将miR-202模拟物、miR-202抑制物、BAFF干扰质粒(siBAFF)及其阴性对照转染U266细胞,Western blot检测Bcl-2家族和MAPK信号通路蛋白的表达。WST-1法、流式细胞术(Annexin V-FLUOS)分别检测转染后U266细胞的增殖和凋亡情况。**结果** U266细胞、MM患者CD138⁺细胞中miR-202 mRNA表达(分别为 0.052 ± 0.009 、 0.304 ± 0.354)均低于健康对照组(3.550 ± 1.126)($P<0.001$, $P=0.009$),BAFF表达水平(5.700 ± 0.734 、 9.576 ± 2.887)均高于健康对照组(1.819 ± 0.853)($P<0.001$, $P=0.006$)。miR-202模拟物转染组细胞增殖抑制率高于对照组[(56.04 ± 0.02)%对(18.89 ± 0.32), $P=0.002$]。Western blot结果显示,转染miR-202模拟物后,U266细胞Bcl-2表达下调约24%,而Bax蛋白的表达上调约1.24倍,miR-202模拟物组细胞凋亡率高于对照组[(49.60 ± 4.89)%对(26.20 ± 1.28), $P=0.029$]。硼替佐米和miR-202模拟物联合组细胞凋亡率为(51.23 ± 5.41),高于硼替佐米单独处理组(31.70 ± 4.40)%和硼替佐米与模拟物对照联合处理组[(51.23 ± 5.41)%对(31.70 ± 4.40), $P=0.047$;(51.23 ± 5.41)%对(27.94 ± 4.04), $P=0.028$],而miR-202模拟物联合沙利度胺和地塞米松与miR-202模拟物对照组相比差异无统计学意义[(11.66 ± 1.91)%对(10.63 ± 1.74), $P=0.700$;(16.35 ± 1.32)%对(17.43 ± 1.95), $P=0.400$]。miR-202模拟物联合硼替佐米对U266细胞的增殖抑制率高于硼替佐米单独处理组[(36.93 ± 5.98)%对(18.18 ± 4.10), $P=0.029$]。miR-202模拟物及硼替佐米处理U266细胞后,p-JNK蛋白表达水平下调。**结论** miR-202模拟物和硼替佐米可协同抑制MM细胞增殖、诱导其凋亡,可能通过miR-202负向调控靶基因BAFF的表达、抑制JNK/SAPK信号通路的活化来实现的。

【关键词】 多发性骨髓瘤; 微RNAs; 抗药性,肿瘤; 信号通路

基金项目: 国家自然科学基金面上项目(81271920、81301498);江苏省重点研发专项(BE2015654);江苏省卫计委科研课题(H201422、H201526)

miR-202 contributes to sensitizing MM cells to drug significantly via activating JNK/SAPK signaling pathway Zhang Yan^{*}, Shen Xianjuan, Wu Xinhua, Cong Hui, Ni Hongbing, Ju Shaoqing, Su Jianyou^{*}.

^{*}Laboratory Medicine Center, Affiliated Hospital of Nantong University, Nantong Jiangsu 226001, China

Corresponding author: Su Jianyou, Email: jianyousu@126.com

[Abstract] **Objective** To explore the role of miR-202 in multiple myeloma (MM) cells, and study the regulation of miR-202 on drug sensitivity of MM cells. **Methods** miR-202 and BAFF mRNA levels were detected by real-time PCR. U266 cells were transfected with miR-202-mimics, miR-202-inhibitor, siBAFF and their negative controls. After above treatments, protein levels of Bcl-2 family and MAPK signaling pathway were detected by Western blot analysis, and the proliferation and apoptosis ability of MM cells were examined by WST-1, Annexin V-FLUOS assay, respectively. **Results** The results showed that the expression of miR-202 in CD138⁺ MM cells (0.304 ± 0.354) and U266 cells (0.052 ± 0.009) were lower than in normal controls (3.550 ± 1.126) ($P<0.001$, $P=0.009$), whereas BAFF mRNA

levels (5.700 ± 0.734 , 9.576 ± 2.887) were higher than in normal controls (1.819 ± 0.853) ($P < 0.001$, $P = 0.006$). The proliferation ability of U266 cells transfected with miR-202 mimics was significantly inhibited than in control group [(56.04 ± 0.021)% vs (18.89 ± 0.32)%, $P = 0.002$]. The result of Western blot showed that the expression of Bcl-2 decreased by about 24%, and the expression of Bax increased by about 124% in cells transfected with miR-202 mimics. The apoptosis rate in cells transfected with miR-202 mimics was significantly more than in control group [(49.60 ± 4.89)% vs (26.20 ± 1.28)%, $P = 0.029$]. The apoptosis rate in miR-202 mimics combined with Bort group (51.23 ± 5.41)% was higher as compared with Bort treatment alone (31.70 ± 4.40)% or miR-202 mimics control combined with Bort group (27.94 ± 4.04), ($P = 0.047$, $P = 0.028$), whereas the apoptosis rate in miR-202 mimics combined with Thal or Dex had no significant difference compared with miR-202 mimics control [(11.66 ± 1.91)% vs (10.63 ± 1.74)%, $P = 0.700$; (16.35 ± 1.32)% vs (17.43 ± 1.95), $P = 0.400$]. The inhibitory rate of cell growth in miR-202 mimics combined with Bort group was higher as compared with Bort treatment alone [(36.93 ± 5.98)% vs (18.18 ± 4.10), $P = 0.029$]. The expressions of p-JNK protein decreased in U266 cells transfected with miR-202 mimics and treated with Bort. **Conclusion** miR-202 mimics combined with Bort could inhibit proliferation and induce apoptosis of U266 cells through negative regulating target gene BAFF, which further inhibited the JNK/SAPK signaling pathway.

[Key words] Multiple myeloma; MicroRNAs; Drug resistance, neoplasm; Signaling pathway

Fund program: National Natural Science Foundation of China (81301498, 81271920); Key Project of Jiangsu Province (BE2015654); Scientific Research Foundation for Jiangsu Provincial Commission of Health and Family Planning (H201422, H201526)

多发性骨髓瘤(MM)是一种目前仍不可治愈的浆细胞恶性肿瘤^[1-2]。目前研究报道MM细胞的耐药机制主要包括NF-κB、JAK/Stat3、MEK/MAPK等信号通路的活化^[3]。microRNA(miRNA)是一类包含21~25个核苷酸的小非编码RNA家族。近年来是肿瘤研究领域的研究热点,主要通过部分或完全互补至靶基因mRNA的3'UTR,抑制或降解靶基因mRNA,从而在转录后水平调节基因表达^[4]。miRNA除了在正常生理过程中发挥作用,还参与许多疾病的发生发展^[5-6]。通过基因芯片技术在MM患者样本和细胞株发现了miR-181、miR-21、miR-17-92、miR-202和miR-9等许多miRNA分子。我们前期研究发现MM患者外周血单个核细胞中表达miR-202及其靶基因B淋巴细胞刺激因子(BAFF),但是两者功能及相互作用尚不清楚^[7-8]。Gao等^[9]研究发现miRNA能调节白血病细胞株对药物的敏感性和耐药性。本研究旨在观察miR-202联合硼替佐米、沙利度胺和地塞米松对MM细胞增殖及凋亡的影响并探讨MAPK信号通路在miR-202调节MM细胞耐药中的作用。

材料与方法

1. 主要试剂:Bax、Bcl-2、β-Actin抗体购自上海碧云天生物技术有限公司南通分公司;c-Jun氨基末端激酶(JNK)、磷酸化c-Jun氨基末端激酶(p-JNK)、p38、p-p38、细胞外调节蛋白激酶(ERK)、磷酸化细

胞外调节蛋白激酶(p-ERK)抗体为美国Cell Signaling公司产品;Annexin V-FLUOS Staining kit、Cell Proliferation Reagent WST-1为德国Roche公司产品;lipo2000、逆转录试剂为立陶宛Fermentas公司产品;FBS为美国Hyclone公司产品;RPMI1640培养基、Opti-MEM Reduced Serum Medium为美国Gibco公司产品;B淋巴细胞刺激因子干扰质粒(siBAFF, BAFF-homo-708)为上海吉玛制药技术有限公司产品;TRIzol、has-miR-202模拟物、has-miR-202抑制物、阴性对照、抑制物阴性对照为Invitrogen公司产品。

2. 样本来源及细胞培养:骨髓标本来自2013年9月至2014年12月南通大学附属医院就诊的7例初诊MM患者[男4例,女3例,中位年龄60(50~65)岁]和3名志愿者[男2名,女1名,中位年龄54(48~60)岁]。本研究经南通大学附属医院伦理委员会批准,所有受试者均知情同意。人MM细胞系U266细胞购于上海拜力生物科技有限公司,悬浮生长于含10%胎牛血清、1%链霉素-青霉素、1%谷氨酰胺的RPMI 1640培养基中,置于37℃、含5%CO₂的培养箱中进行培养。

3. 细胞转染:收集对数生长期细胞,按每孔(2~8)×10⁵的密度接种于6孔板,6 h后分别将miR-202模拟物(5'-AGAGGUAUAGGGCAUGGGAA-3',5'-CCCAUGCCCCAUACCUCUUU-3')、阴性对照(5'-UUCUCCGAACGUGUCACGUTT-3',5'-ACGUGA-

CACGUUCGGAGAATT-3')、miR-202 抑制物(5'-UUCCCAUGCCCCAUACCUCU-3')、siBAFF(5'-CAUGGCUUCUCAGCUUUAATT-3'、5'-UUAAA GCUGAGAACCCAUGTT-3')转染入U266细胞中,培养48~72 h后分别提取总RNA和蛋白。

4. 逆转录PCR 将U266细胞及MM患者CD138⁺浆细胞中RNA逆转录成cDNA: TRIzol法提取细胞总RNA,用紫外分光光度计测得总RNA浓度,取5 μg RNA进行逆转录。反应条件:42℃ 60 min, 70℃ 5 min。逆转录产物于-20℃保存。

5. 荧光定量PCR 检测U266细胞及MM患者CD138⁺浆细胞miR-202及BAFF mRNA的表达水平: BAFF引物序列: 5'-TGTCAACCGCGGGACT-GAAAATCT-3'(上游引物), 5'-TGTCTGCAAT-CAGTTGCAAGCAGT-3'(下游引物), 以GAPDH和U6作为内参基因。miR-202引物购自广州锐博生物科技有限公司。反应体系: SYBR Green I mix (Rox) 10 μl, cDNA 3 μl, 上、下游引物各0.5 μl, RNase-free水补足至20 μl。反应条件: 95℃ 10 min; 95℃ 15 s, 60℃ 15 s, 72℃ 31 s, 40个循环。

6. Western blot 检测U266细胞转染miR-202模拟物、抑制物、siBAFF及其对照后凋亡相关蛋白及MAPK信号通路中蛋白表达水平: 用RIPA裂解液(含1%PMSF)提取细胞总蛋白, 紫外分光光度计检测蛋白浓度, 取400 μg 总蛋白进行SDS-聚丙烯酰胺凝胶电泳(80 V 40 min, 100 V 60 min), 并将蛋白从SDS-PAGE凝胶转至PVDF膜(300 mA 120 min)。50 g/L脱脂奶粉/TBST液封闭2 h。按1:600稀释一抗(Bcl-2、Bax、JNK、p-JNK、p38、p-p38、ERK、p-ERK), 按1:1 000稀释β-actin抗体, 4℃孵育过夜。按1:1 000稀释二抗(山羊抗兔IgG、山羊抗鼠IgG), 室温孵育2 h, 用增强化学发光液进行显影。

7. WST-1细胞增殖检测: 收集对数生长期U266细胞, 按3 000细胞/孔的密度种入96孔板, 6 h后转染miR-202模拟物、miR-202抑制物、siBAFF及其对照, 培养基补足至每孔100 μl, 24~72 h后每孔加入10 μl WST-1试剂, 继续培养2 h后, 用酶标仪测量各孔450 nm(650 nm参考)的吸光度(A)值。每组设5个复孔, 实验重复3次, 结果取均数。按以下公式计算细胞增殖抑制率。

$$\text{细胞增殖抑制率}(\%) = 1 - \left(\frac{A_{\text{目的孔}}}{A_{\text{空白对照孔}}} \right) \times 100\%$$

8. 流式细胞术(Annexin V-FLUOS)检测细胞凋

亡: 细胞种板, 6 h后转染miR-202模拟物及其对照, 48 h后收集6孔板内细胞, 移入2 ml EP管中, 离心后1×PBS洗涤2次, 按试剂盒说明书配制细胞染液, 室温孵育10~15 min, 混匀进行流式细胞术检测。实验重复3次, 结果取均数。此外, 用50 nmol/L 硼替佐米、200 μmol/L 沙利度胺、10 nmol/L 地塞米松单药及联合50 nmol/L miR-202模拟物作用于U266细胞, 采用上述方法检测细胞凋亡率。

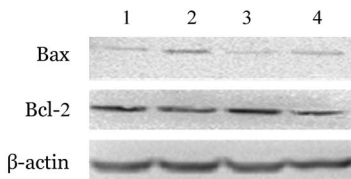
9. 统计学处理: 应用SPSS 17.0软件进行分析。实验数据以 $\bar{x} \pm s$ 表示, 两组比较采用Mann-Whitney U检验, $P < 0.05$ 为差异有统计学意义。

结 果

1. U266细胞及MM患者CD138⁺浆细胞miR-202 mRNA及BAFF的表达: 流式细胞术分选MM患者及健康人骨髓来源CD138⁺浆细胞。提取U266细胞株及CD138⁺浆细胞的总RNA进行逆转录及荧光定量PCR。U266细胞、MM患者CD138⁺浆细胞miR-202 mRNA相对表达量分别为0.052±0.009、0.304±0.354, 均低于健康对照组(3.550±1.126)($P < 0.001$, $P = 0.009$)。通过检索microRNA.org与DIANA-miT生物信息学工具预测发现B淋巴细胞刺激因子(BAFF)是miR-202潜在的靶基因, 荧光素酶报告基因进一步证实两者之间的调控关系^[8]。实时荧光定量PCR检测结果显示U266细胞、MM患者CD138⁺浆细胞BAFF表达分别为5.700±0.734、9.576±2.887, 均高于健康对照组(1.819±0.853)($P < 0.001$, $P = 0.006$)。

2. miR-202对U266细胞生长和凋亡的影响: U266细胞转染miR-202模拟物(mimics)、miR-202抑制物(Inhibitor)、siBAFF及其对照。WST-1实验发现miR-202模拟物转染组细胞增殖抑制率为(56.04±0.02)%, 与对照组[(18.89±0.32)%]相比, 差异有统计学意义($P = 0.002$), 提示miR-202可通过靶向BAFF抑制U266细胞增殖。Western blot结果显示, 转染miR-202模拟物后, Bcl-2表达下调约24%, Bax蛋白表达上调约1.24倍(图1), 提示miR-202能够诱导U266细胞凋亡。此外, 流式细胞术结果显示, miR-202模拟物组细胞凋亡率高于对照组[(49.60±4.89)%对(26.20±1.28)%], $P = 0.029$, siBAFF组、miR-202抑制物组细胞凋亡率分别为(30.70±1.44)%、(40.40±1.34)%, 与对照组相比差异无统计学意义(P 值分别为0.200、0.310)(图2), 提

示miR-202模拟物抑制U266细胞增殖、促进细胞凋亡。



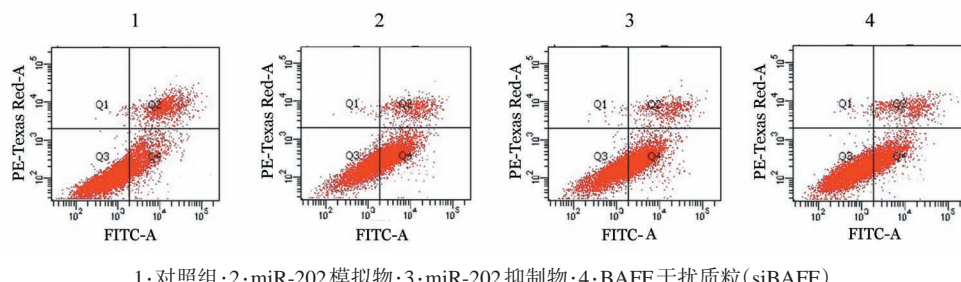
1:对照组;2:miR-202模拟物;3:miR-202抑制物;4:BAFF干扰质粒(siBAFF)

图1 Western blot法检测转染miR-202模拟物对U266细胞凋亡相关蛋白表达的影响

3. 流式细胞术检测miR-202、硼替佐米、沙利度胺、地塞米松对U266细胞凋亡的影响:为了研究miR-202在抗骨髓瘤药物诱导的MM细胞凋亡中作用,我们单独使用miR-202模拟物或抗骨髓瘤药物以及两者联合处理U266细胞后,用流式细胞术检

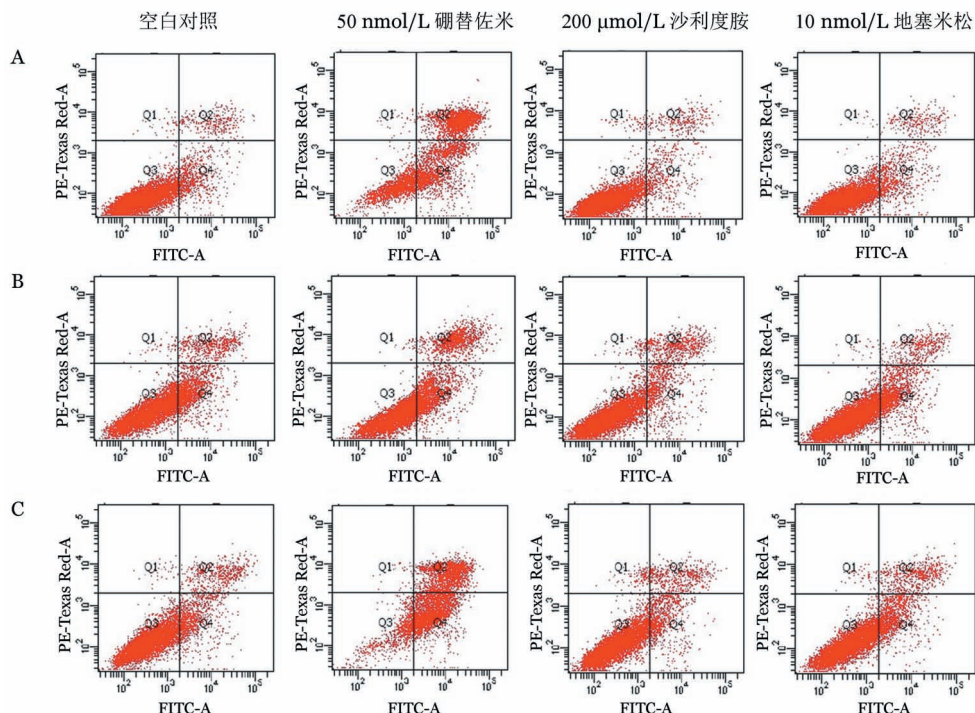
测细胞凋亡情况。如图3所示,硼替佐米和miR-202模拟物联合组凋亡率[(51.23±5.41)%]高于硼替佐米单独处理组[(31.70±4.40)% , $P=0.047$]和硼替佐米与模拟物对照联合处理组[(27.94±4.04)% , $P=0.028$]。然而,模拟物对照组与miR-202模拟物联合沙利度胺、地塞米松组的细胞凋亡率差异无统计学意义[(11.66±1.91)%对(10.63±1.74)% , $P=0.700$; (16.35±1.32)%对(17.43±1.95)% , $P=0.400$],提示miR-202模拟物增加了U266细胞对硼替佐米的敏感性,也就是说MM中miR-202的低表达与MM对硼替佐米的耐药相关。

4. miR-202模拟物对U266细胞药物敏感性的影响:硼替佐米、miR-202模拟物对U266细胞增殖抑制率分别为(18.18±4.10)%、(15.38±1.90)% ,两者联合的抑制率为(36.93±5.98)% ,与单独使用硼替佐米相比差异有统计学意义($P=0.029$)。单独用地塞



1:对照组;2:miR-202模拟物;3:miR-202抑制物;4:BAFF干扰质粒(siBAFF)

图2 流式细胞术检测miR-202对U266细胞凋亡的影响

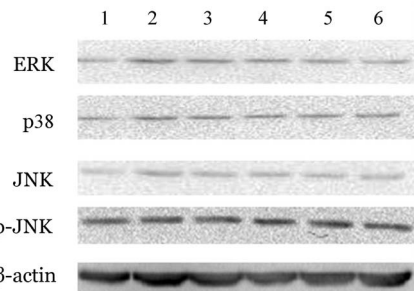


A:未转染;B:转染miR-202对照;C:转染miR-202模拟物

图3 流式细胞术分析miR-202与抗多发性骨髓瘤药物对U266细胞凋亡的影响

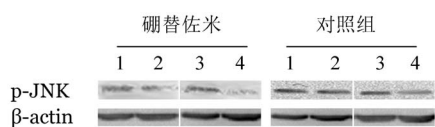
米松、miR-202模拟物对U266细胞增殖抑制率分别是(17.47±4.92)%、(15.50±2.31)%，两者联合的抑制率为(26.67±2.89)%，与单独使用地塞米松相比差异无统计学意义($P=0.100$)。沙利度胺单独、联合miR-202对U266细胞增殖抑制率差异无统计学意义[(15.68±2.27)%对(20.55±4.90)%, $P=0.200$]。以上结果提示miR-202表达的上调使U266细胞对硼替佐米更敏感。

5. Western blot检测miR-202对MAPK信号通路的影响：U266细胞中有ERK、p38、JNK和p-JNK表达，未检测到p-ERK和p-p38表达且miR-202模拟物组p-JNK表达水平下调约20%（图4），表明JNK/SAPK信号通路参与了miR-202的表达调控。我们进一步检测了硼替佐米处理48 h后U266细胞p-JNK的表达水平。结果显示与对照组相比，miR-202模拟物组和siRNA-BAFF组的p-JNK表达水平分别下调52%、67%（图5），表明miR-202模拟物与siRNA-BAFF有类似的作用。这些结果提示miR-202能够负向调控BAFF的表达，进一步抑制JNK/SAPK信号通路的活化，从而增强了MM细胞对硼替佐米敏感性。



1:BAFF干扰质粒;2:抑制物;3:抑制物阴性对照;4:模拟物;5:模拟物阴性对照;6:对照组

图4 Western blot检测miR-202对MAPK信号通路的影响



1:对照组;2:miR-202模拟物;3:BAFF干扰质粒对照;4:BAFF干扰质粒

图5 Western blot分析经硼替佐米处理48 h后U266细胞p-JNK水平

讨 论

MM是一种克隆B细胞恶性疾病，以骨髓中浆细胞异常和不可控制的增殖、骨损伤和免疫缺陷为特征。浆细胞的恶性增殖产生大量无功能的单克隆免疫球蛋白或片段，临床表现为贫血、肾损伤、骨

损伤和感染。目前，MM患者由于耐药的产生而缺乏有效的治愈方案^[10]。

BAFF通过连接受体B细胞成熟抗原(BCMA)、转膜蛋白复合物(TACI)和BAFF受体(BAFF-R/BR3)在调节B细胞和T细胞增殖与生存中发挥重要作用。越来越多的证据显示BAFF影响恶性B细胞的生长和生存，促进MM细胞增殖和生存，与MM发展和进程密切相关^[11]。我们的前期研究表明MM患者外周血及MM细胞株中BAFF及其受体的表达显著高于正常对照组^[12-13]，提示BAFF在MM起始和进展中发挥重要作用。近来有研究表明BAFF参与MM耐药的发生^[14]。然而，BAFF在MM发病机理和耐药中的生物学作用并不十分清楚。

前期研究发现MM患者血清miR-202表达水平显著升高，且与血清β₂微球蛋白和κ链浓度有一定相关性^[15]。本研究中MM患者CD138⁺细胞和U266细胞株中miR-202 mRNA低表达，与前期研究相反，可能由于骨髓基质细胞(BMSC)分泌高水平BAFF^[16]，具体机制仍需进一步研究。

尽管MM患者对硼替佐米最初反应总体很好，但随着时间的推移许多患者会产生耐药，MM患者对硼替佐米药物敏感性和耐药性的准确调节机制仍未阐明^[17]。本研究的结果提示，miR-202模拟物使U266细胞对硼替佐米敏感且联合miR-202模拟物对MM细胞生存的抑制作用更为显著。这些结果提示miR-202表达的调节机制可能是MM治疗的一个潜在靶点。

许多研究表明不同的药物通过改变MAPK信号通路的活化发挥其抑制MM细胞增殖和生存的能力^[18-19]。我们在前期研究中发现BAFF能激活JNK/SAPK信号通路、BAFF siRNA抑制JNK/SAPK信号通路，提示JNK/SAPK信号通路的活化程度与BAFF表达水平呈正相关^[19]。本研究中我们发现U266细胞转染miR-202模拟物后MAPK信号通路中p-JNK表达下调，提示miR-202抑制JNK/SAPK信号通路，且JNK/SAPK信号通路参与miR-202对BAFF的调控。同时对硼替佐米治疗反应性的提高可能由于miR-202对BAFF介导的信号通路的抑制作用，进而阻碍JNK/SAPK信号通路的再活化，提示miR-202靶向BAFF可能为MM患者的治疗提供新的选择。

参 考 文 献

- [1] Cömert M, Güneş AE, Sahin F, et al. Quality of life and support-

- ive care in multiple myeloma[J]. Turk J Haematol, 2013, 30(3): 234-246. doi: 10.4274/Tjh.2012.0192.
- [2] Andrews SW, Kabrah S, May JE, et al. Multiple myeloma: the bone marrow microenvironment and its relation to treatment[J]. Br J Biomed Sci, 2013, 70(3):110-120.
- [3] Fuchs O. Targeting of NF-kappaB signaling pathway, other signaling pathways and epigenetics in therapy of multiple myeloma [J]. Cardiovasc Hematol Disord Drug Targets, 2013, 13(1):16-34. doi: 10.2174/1871529X11313010003.
- [4] Calin GA, Croce CM. MicroRNA signatures in human cancers [J]. Nat Rev Cancer, 2006, 6 (11):857- 866. doi:10.1038/nrc1997.
- [5] Kong YW, Ferland- McCollough D, Jackson TJ, et al. micro RNAs in cancer management [J]. Lancet Oncol, 2012, 13 (6): e249-258. doi: 10.1016/S1470-2045(12)70073-6.
- [6] Corsini LR, Bronte G, Terrasi M, et al. The role of microRNAs in cancer: diagnostic and prognostic biomarkers and targets of therapies[J]. Expert Opin Ther Targets, 2012, 16 Suppl 2: S103-109. doi: 10.1517/14728222.2011.650632.
- [7] 张霞, 王旭东, 申娟娟, 等. 多发性骨髓瘤患者外周血单个核细胞miR-202的表达及意义[J]. 中华检验医学杂志, 2011, 34 (10): 931-934. doi: 10.3760/cma.j.issn.1009-9158.2011.10.014.
- [8] Shen X, Guo Y, Yu J, et al. miRNA-202 in bone marrow stromal cells affects the growth and adhesion of multiple myeloma cells by regulating B cell-activating factor[J]. Clin Exp Med, 2016, 16(3):307-316. doi: 10.1007/s10238-015-0355-4.
- [9] Gao SM, Xing CY, Chen CQ, et al. miR- 15a and miR- 16- 1 inhibit the proliferation of leukemic cells by down- regulating WT1 protein level [J]. J Exp Clin Cancer Res, 2011, 30:110. doi: 10.1186/1756-9966-30-110.
- [10] Fonseca R, Monge J, Dimopoulos MA. Staging and prognostication of multiple myeloma[J]. Expert Rev Hematol, 2014, 7(1): 21-31. doi: 10.1586/17474086.2014.882224.
- [11] Fragioudaki M, Boula A, Tsirakis G, et al. B cell- activating factor: its clinical significance in multiple myeloma patients[J]. Ann Hematol, 2012, 91 (9):1413- 1418. doi: 10.1007/s00277-012-1470-x.
- [12] Jiang P, Yueguo W, Huiming H, et al. B-Lymphocyte stimulator: a new biomarker for multiple myeloma [J]. Eur J Haematol, 2009, 82(4):267-276. doi: 10.1111/j.1600-0609.2008.01203.x.
- [13] Ju S, Wang Y, Ni H, et al. Correlation of expression levels of BLyS and its receptors with multiple myeloma [J]. Clin Biochem, 2009, 42 (4-5):387- 399. doi: 10.1016/j.clinbiochem.2008.10.024.
- [14] Podar K, Chauhan D, Anderson KC. Bone marrow microenvironment and the identification of new targets for myeloma therapy [J]. Leukemia, 2009, 23(1):10-24. doi: 10.1038/leu.2008.259.
- [15] Yu J, Qiu X, Shen X, et al. miR- 202 expression concentration and its clinical significance in the serum of multiple myeloma patients [J]. Ann Clin Biochem, 2014, 51 (Pt 5):543- 549. doi: 10.1177/0004563213501155.
- [16] Tai YT, Li XF, Breitkreutz I, et al. Role of B- cell- activating factor in adhesion and growth of human multiple myeloma cells in the bone marrow microenvironment[J]. Cancer Res, 2006, 66 (13):6675-6682.
- [17] Coppo R. Proteasome inhibitors in progressive renal diseases [J]. Nephrol Dial Transplant, 2014, 29 (Suppl 1):i25-i30. doi: 10.1093/ndt/gft271.
- [18] Wen J, Feng Y, Huang W, et al. Enhanced antimyeloma cytotoxicity by the combination of arsenic trioxide and bortezomib is further potentiated by p38 MAPK inhibition [J]. Leuk Res, 2010, 34(1):85-92. doi: 10.1016/j.leukres.2009.05.024.
- [19] Xu G, Shen XJ, Pu J, et al. BLyS expression and JNK activation may form a feedback loop to promote survival and proliferation of multiple myeloma cells[J]. Cytokine, 2012, 60 (2):505-513. doi: 10.1016/j.cyto.2012.06.317.

(收稿日期:2016-04-01)

(本文编辑:徐茂强)

·读者·作者·编者·

作者投稿须知

- 按本刊要求写作:登录《中华血液学杂志》网站(<http://www.hematoline.com>),参见首页作者中心栏中的“投稿须知”及“写作指导”栏目。
- 作者注册:请打开本刊网站首页点击“在线投稿”即进入中华医学网站(<http://www.cma.org.cn>)。在网站首页注册并申请为杂志作者(用户名和密码为您在中华医学会统一的登录信息,请牢记!忘记密码可通过电子信箱索取)。
- 投稿:注册成功后进入“业务中心”。点击【远程稿件管理系统】,相应的功能即显示在下方。点击“作者投稿”,按要求填写内容,摘要在字数允许范围内尽可能详细,并上传原稿(点击“暂存”稿件进入【我的草稿】模块)。选择《中华血液学杂志》,并点击“投稿”。
- 邮寄纸稿及介绍信:请在投稿平台上下载论文报送介绍信及授权书,签字盖章后连同原稿打印件(注明稿件编号)一并寄至本刊编辑部。